

# Континуальная модель одномерного биполярона Холстейна в ДНК

©2014 Каширина Н.И.<sup>\*1</sup>, Лахно В.Д.<sup>\*\*2</sup>

<sup>1</sup>Институт физики полупроводников им. В.Е Лашкарева, Национальная академия наук Украины, Киев, 03028, Украина

<sup>2</sup>Институт математических проблем биологии, Российской академии наук, Пущино, Московская область, 142290, Россия

**Аннотация.** В работе в континуальном приближении получен функционал 1D-биполярона Холстейна. Изучается влияние электронных корреляций, связанных с прямой зависимостью волновой функции системы от расстояния между электронами, на энергию связи биполярона. Для различных параметров рассматриваемой системы проведены расчёты энергии связи биполярона, получена фазовая диаграмма области устойчивости биполярона.

**Ключевые слова:** электрон-фононное взаимодействие, полярон Холстейна, биполярон.

## ВВЕДЕНИЕ

Сверхпроводящее состояние в ДНК наблюдалось при низких температурах для хаотических нуклеотидных последовательностей ( $\lambda$ -ДНК) [1]. В связи с возможностью объяснения сверхпроводимости в ДНК на основании биполярона механизма, значительный интерес представляет исследование различных моделей образования биполярона состояний. Так как условие Бозе-конденсации биполярона газа может быть затруднено неоднородностью нуклеотидного состава, в [2] предполагается, что низкая температура сверхпроводящего перехода  $T \approx 1\text{ K}$ , наблюдавшаяся в [1], связана с хаотичным расположением нуклеотидных последовательностей. При переходе к однородным системам возможно наблюдение сверхпроводимости при более высоких температурах. Континуальная модель биполярона (БП) большого радиуса в применении к низкоразмерным системам, в частности к ДНК, интересна также в связи с тем, что в рамках данного рассмотрения эффективная масса БП, как правило, значительно ниже, чем значения, полученные для БП малого радиуса. Это может существенно повысить температуру перехода сверхпроводящее состояние. В связи с тем, что модель полярона Хаббарда–Холстейна допускает рассмотрение как полярона ( $\Pi$ ) малого радиуса, так и  $\Pi$  большого радиуса, можно применить континуальный метод Холстейна, предложенный в [3], для получения функционала БП в континуальном приближении.

## ФУНКЦИОНАЛЫ ПОЛЯРОНА И БИПОЛЯРона ХОЛСТЕЙНА

В адиабатическом приближении волновые функции (ВФ) полярона  $\Phi(x)$  [3] и биполярона  $\Psi(x_1, x_2)$  удовлетворяют следующим уравнениям:

$$-J \frac{d^2}{dx^2} \Phi(x) - A \cdot u(x) \Phi(x) = W_p \Phi(x), \quad (1)$$

$$-J \Delta_{12} \Psi_{12} - A(u_1 + u_2) \Psi_{12} + G \delta_{12} \Psi_{12} = W_B \Psi_{12}, \quad (2)$$

где  $\Psi_{12} = \Psi_{21} \equiv \Psi(x_1, x_2)$ ,

---

<sup>\*</sup>kashirina@mail.ru

<sup>\*\*</sup>lak@impb.psn.ru

$$\Delta_{12} = \frac{d^2}{dx_1^2} + \frac{d^2}{dx_2^2},$$

$u_1 \equiv u(x_1)$ ,  $u_2 \equiv u(x_2)$  – операторы смещения в месте расположения соответственно 1-ой и 2-ой заряженной частицы, слагаемое  $G\delta_{12}\Psi_{12}$  соответствует кулоновскому отталкиванию взаимодействующих частиц в 1D системе [4],  $\delta_{12} = \delta(x_1 - x_2)$ ,  $x_1, x_2$  – координаты 1 и 2 заряженной частицы. Величина  $J$  согласно [3] может быть выражена через эффективную массу заряженной частицы  $m^* = \hbar^2/2Ja^2$ , где  $a$  – расстояние между ближайшими соседями в линейной цепочке.

Функционалам П и БП соответствуют следующие выражения:

$$F_{P,B} = W_{P,B} + \frac{k}{2} \int u^2(x) dx, \quad (3)$$

где  $k = M\omega_0^2$ ,  $M$  – масса колеблющихся частиц в цепочке,  $\omega_0$  – частота колебаний.

Приравняв нуль функциональную производную (3) по оператору смещения (адиабатическое приближение), выразим оператор смещения П и БП через электронную волновую функцию:

$$u_0(x) = \frac{A}{k} \Phi(x), \quad (4)$$

$$u_0(x) = \frac{2A}{k} \int |\Psi(x, x')|^2 dx'. \quad (5)$$

Подставляя (4) и (5) соответственно в (1) и (2), получим функционалы П и БП в следующем виде:

$$F_P = T_P + W_{P(\text{int})} + U_{P(ph)}, \quad (6)$$

$$F_B = T_B + W_{B(\text{int})} + U_{B(ph)} + V_C, \quad (7)$$

где

$$T_P = -J \int \Phi^*(r) \Delta \Phi(r) d\tau, \quad (8)$$

$$W_{P(\text{int})} = -\frac{A^2}{k} \int |\Phi(x)|^4 dx, \quad (9)$$

$$U_{P(ph)} = \frac{k}{2} \int u_0^2(r) d^3r = \frac{A^2}{2 \cdot k} \int |\Phi(x)|^4 dx, \quad (10)$$

$$V_C = G \iint \Psi_{12}^* \delta_{12} \Psi_{12} dx_1 dx_2 = G \int |\Psi_{11}|^2 dx_1, \quad (11)$$

$$T_B = -J \int \Psi_{12}^* \Delta_{12} \Psi_{12} dx_1 dx_2, \quad (12)$$

$$W_{B(\text{int})} = -\frac{4A^2}{k} \int |\Psi_{12}|^2 |\Psi_{23}|^2 dx_1 dx_2 dx_3. \quad (13)$$

Подставляя выражения (8) – (13) в функционалы П (6) и БП (7) получим:

$$F_P = -J \int \Phi_1^* \Delta_1 \Phi_1 dx_1 - \frac{A^2}{2k} \int |\Phi_1|^4 dx, \quad (14)$$

$$F_B = -J \iint \Psi_{12}^* \Delta_{12} \Psi_{12} dx_1 dx_2 - \frac{2A^2}{k} \iiint |\Psi_{12}|^2 |\Psi_{23}|^2 dx_1 dx_2 dx_3 + G \int |\Psi_{11}|^2 d^3x_1. \quad (15)$$

С учётом (4) уравнение для П Холстейна (1) в континуальном приближении имеет вид

$$-J\Delta\Phi(x) - \frac{A^2}{k}\Phi^3(x) = W_p\Phi(x). \quad (16)$$

Обозначив  $E_{B(P)} = \min\{F_{B(P)}\}$ , получим критерий устойчивости БП  $2E_p - E_B = \Delta_B > 0$ .

Как известно, уравнение (16) имеет точное аналитическое решение. Волновая функция П большого радиуса и соответствующая энергия основного самосогласованного состояния имеют вид

$$\Phi(x) = \alpha/\sqrt{2} \cosh(\alpha^2 x), \quad E_p = -2J - \alpha^4 J/3, \quad (17)$$

где  $\alpha^2 = \kappa/8J$ ,  $\kappa = 2A^2/k$ ,  $k = M\omega_0^2$ ,  $M$  и  $\omega_0$  – масса и частота колебаний сайта.

Для расчётов энергии связи БП могут использоваться различные наборы пробных ВФ, апробированных для расчётов энергии в 3D системах, например:

$$\Psi_{12} = N(1 + b(x_1 - x_2)^2) \exp(-ax_1^2 - ax_2^2), \quad (18a)$$

$$\Psi_{12} = N(x_1 - x_2)^2 \sum_i C_i \exp(-a_{1i}x_1^2 - 2a_{2i}x_1x_2 - a_{3i}x_2^2), \quad (18b)$$

$$\Psi_{12} = N \sum_i C_i \exp(-a_{1i}x_1^2 - 2a_{2i}x_1x_2 - a_{3i}x_2^2), \quad (18c)$$

где  $N$  – нормировочный множитель,  $a_1, a_2, a_3, a, b, C_i, a_{1i}, a_{2i}, a_{3i}$  – вариационные параметры.

## РАЗЛИЧНЫЕ ПРЕДСТАВЛЕНИЯ КУЛОНОВСКОГО ОТТАЛКИВАНИЯ В ОДНОМЕРНЫХ И КВАЗИОДНОМЕРНЫХ СИСТЕМАХ

Энергия связи континуального БП существенно зависит от учёта электронных корреляций. В одномерной системе выбор пробной электронной ВФ в виде  $\Psi_{12} = f(x_1 - x_2)\Psi'_{12}$ , где  $f(x_1 - x_2)$  – функция координат электронов, выбранная таким образом, что для  $x_1 = x_2$   $f(x_1 - x_2) = 0$ , позволяет полностью исключить кулоновское отталкивание между заряженными частицами и, при удачном выборе пробной функции  $\Psi'_{12}$ , может значительно понизить энергию одноцентровой конфигурации 1D-полярона. Тем не менее, из физических соображений данное приближение кажется вполне оправданным для биполярона Холстейна малого радиуса, когда ВФ электронов практически полностью сконцентрирована на одном сайте. В том случае, когда речь идёт о кулоновском взаимодействии частиц большого радиуса, когда ВФ одномерной дырки (электрона) «размазана» по нескольким сайтам, представление кулоновского отталкивания дельта-образным потенциалом не кажется безупречной аппроксимацией. В том случае, когда данное взаимодействие не носит контактный характер (квазиодномерные системы), его фурье-компоненты в  $x$ -направлении может быть представлена в виде [5]:

$$V_c(q_x) = \iint dq_z dq_y \frac{4\pi e^2}{q_x^2 + q_y^2 + q_z^2} \cdot \left[ \int_0^\infty r dr |\chi(r)|^2 J_0(q_x r) \right]^2, \quad (19)$$

где  $J_0(z)$  – функция Бесселя нулевого порядка, функция  $\chi(r)$  зависит от выбранной аппроксимации кулоновского взаимодействия. Так, например, при выборе

$$\chi(r) = \left[ \frac{2}{\pi} \right]^{1/2} \frac{1}{\langle r \rangle} \exp(-r/\langle r \rangle), \quad (20)$$

величина  $V_C(q_x)$  может быть вычислена аналитически, как функция параметра  $\langle r \rangle$ , представляющего собой величину, которая характеризует распределение электронной плотности в плоскости  $\langle y - z \rangle$  вблизи направления оси  $\langle x \rangle$ . В отличие от двумерных систем, этот параметр не может полагаться равным нулю в связи с тем, что при  $\langle r \rangle \rightarrow 0$   $V_C(q_x)$  стремится к бесконечности. Поэтому при такой аппроксимации кулоновского отталкивания параметр  $\langle r \rangle$  играет роль дополнительного параметра теории, и вычисления энергии связи БП должны быть проведены для разных отличных от нуля величин параметра  $\langle r \rangle$ . Приближение, использовавшееся в [5] для 1D систем, близко к рассмотренному в [6] случаю БП в анизотропных кристаллах, когда переход к низкоразмерным 2D и 1D системам может быть получен численно изменением параметров анизотропии кристаллов. При этом кулоновское взаимодействие носит трехмерный характер.

## РЕЗУЛЬТАТЫ РАСЧЁТОВ

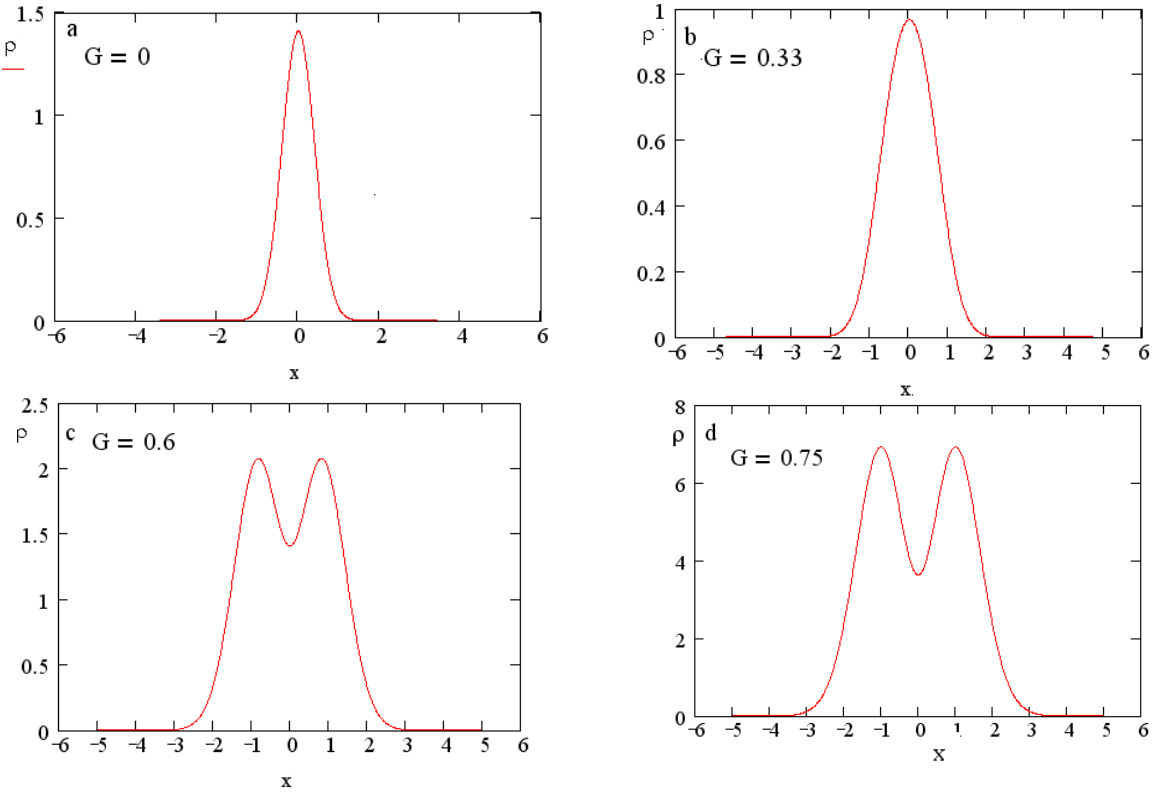


Рис. 1. Плотность заряда  $\rho_i \equiv \rho_i(x_i) = \int_{-\infty}^{\infty} |\Psi_{12}(x_1, x_2)|^2 dx_2$  для ВФ (18а)  $\rho_i \equiv \rho_i(x_i)$ .

На рис. 1 представлены графики плотности заряда как функции координаты электрона для ВФ (18а). По координате второго электрона проведено усреднение. Приведенные на рис. 1. графики хорошо согласуются с аналогичными зависимостями, приведенными в [2] для дискретной модели БП. Для удобства сравнения нами в качестве примера построены зависимости  $\rho(x)$  для тех же параметров, что и в работе [2], в которой исследовалась дискретная модель биполярона Холстейна–Хаббарда. Обратим внимание на то, что в связи с низкой размерностью исследуемой нами системы, наглядное отличие одноцентровой модели БП и двухцентровой модели,

проявляющееся в трехмерном случае, теряется. Если в трехмерном случае одноцентровая модель БП – это сферически симметричное образование, в то время как двухцентровая модель соответствует аксиально-симметричному БП, то в одномерной системе учёт электронных корреляций (в нашем случае это прямая зависимость ВФ электронов от межэлектронного расстояния) также приводит к тому, что с ростом кулоновского отталкивания электронная плотность распределяется по двум областям, разделённым резким минимумом в начале координат. На рис. 1. величина  $G$  выражена в эВ,  $J = 0.084$  эВ, и  $\kappa = 0.5267$  эВ, расстояние между сайтами принято за единицу.

**Таблица 1.** Удвоенная энергия основного самосогласованного состояния полярона  $2E_p$ , энергия биполярона  $E_b$ , энергия связи БП  $\Delta$  в электрон-вольтах. Величины  $\Delta$ ,  $G$  и  $\kappa$  выражены в электрон-вольтах. Пробная ВФ БП выбрана в виде (18а). Параметры  $p$ ,  $a$ ,  $b$  – параметры минимизации  $\Pi$  и БП функционала соответственно. ВФ полярона:  $\Psi(x) = N \exp(-p^2 x^2)$ ,  $N$  – нормировочный множитель.

	$U$	$-2E_p$	$p$	$-E_b$	$a$	$b$	$\Delta = 2E_p - E_{Bp}$
$\kappa = 0.1$ $J = 0.084$	0.1	0.001184	0.083956	0.001187	0.074043	0.026141	0.000003245
	0.075	0.001184	0.083956	0.001259	0.081677	0.019118	0.000075259
	0.05	0.001184	0.083956	0.001556	0.108316	9.4295E-3	0.000372757
	0.025	0.001184	0.083956	0.002734	0.136669	3.1097E-3	0.001550395
	0	0.001184	0.083956	0.004736	0.167913	0	0.003552566
$\kappa = 0.2$ $J = 0.084$	0.2	0.004736	0.167913	0.004749	0.148087	0.104565	0.00001
	0.175	0.004736	0.167913	0.004861	0.15384	0.09098	0.000124
	0.15	0.004736	0.167913	0.005037	0.163354	0.076472	0.000301
	0.1	0.004736	0.1679135	0.006227	0.216633	0.037718	0.001491
	0	0.004736	0.1679135	0.018947	0.335827	0	0.014210
$\kappa = 0.3$ $J = 0.084$	0.3	0.010657	0.251870	0.010686	0.222131	0.235272	0.000029
	0.275	0.010657	0.251870	0.010842	0.22746	0.215063	0.000185
	0.15	0.010657	0.251870	0.014012	0.324949	0.084865	0.003354
	0.1	0.010657	0.251870	0.020149	0.382178	0.040471	0.00949
	0	0.010657	0.251870	0.042630	0.503741	0	0.031973
$\kappa = 0.4$ $J = 0.084$	0.4	0.018947	0.335827	0.018998	0.296175	0.418262	0.000029
	0.3	0.018947	0.335827	0.020151	0.326709	0.305890	0.000185
	0.2	0.018947	0.335827	0.024911	0.433266	0.150872	0.003354
	0.1	0.018947	0.335827	0.043753	0.546677	0.049756	0.00949
	0	0.018947	0.335827	0.075788	0.671654	0	0.031973
$\kappa = 0.7$ $J = 0.084$	0.7	0.05802	0.587697	0.058184	0.518307	1.280917	0.000159003
	0.6	0.05802	0.587697	0.059796	0.542168	1.090127	0.001771705
	0.4	0.05802	0.587697	0.069058	0.685018	0.618775	0.011033118
	0.2	0.05802	0.587697	0.123031	0.928324	0.179210	0.065006196
	0	0.05802	0.587697	0.232100	1.175394	0	0.174075719
$\kappa = 1$ $J = 0.084$	1	0.118418	0.839567	0.118743	0.740439	2.61413	0.000324495
	0.75	0.118418	0.839567	0.125944	0.816774	1.911829	0.007525872
	0.5	0.118418	0.839567	0.155694	1.083164	0.942954	0.037275732
	0.2	0.118418	0.839567	0.30750	1.425417	0.242007	0.189081373
	0	0.118418	0.839567	0.473675	1.679135	0	0.355256569

В таблице 1 приведены энергии основного состояния полярона и БП Холстейна, а также параметры минимизации для ВФ (18а).

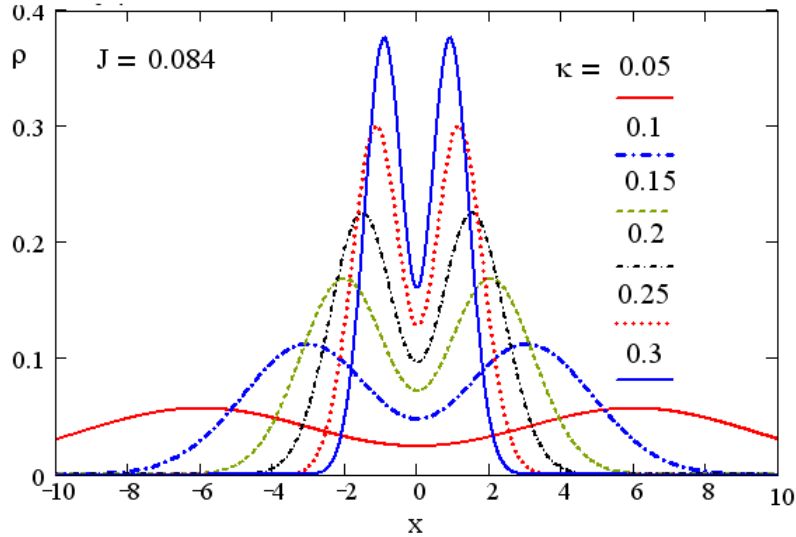


Рис. 2. Плотность заряда как функция координаты электрона для ВФ (18b) при различных параметрах электрон-фононного взаимодействия, определяемых параметром  $\kappa = 2A^2/k$ .

На рис. 2 приведены зависимости плотности электронных состояний ВФ биполярона, электронная часть которой выбрана в простейшем виде  $\Psi_{12} = (x_1 - x_2)^2 \exp(-ax_1^2 - ax_2^2)$  (частный случай ВФ (18b)). При подобном выборе электронной ВФ, кулоновское взаимодействие, которое носит в рассматриваемой нами модели контактный характер, выпадает из рассмотрения. Тем не менее, ВФ, выбранная в таком виде, не приводит к связанному состоянию БП, несмотря на то, что её трехмерный аналог, рассматривавшийся, например, в работе, посвящённой расчётом энергии трехмерного одноцентрового БП [7], давал одно из наиболее низких связанных состояний континуального БП сильной связи. Более сложные многопараметрические функции (18b) требуют отдельного рассмотрения. Обратим внимание на то, что в общем случае более сложных многопараметрических ВФ (18b) и (18c) требуются дополнительные процедуры симметризации для синглетных состояний и антисимметризации ВФ для триплетных состояний двухэлектронных систем.

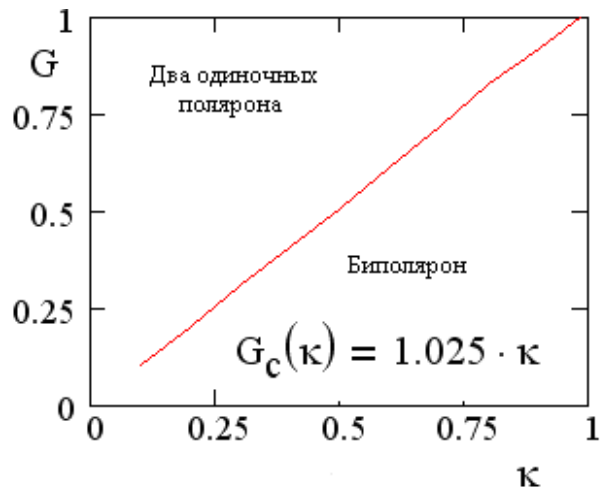


Рис. 3 Фазовая диаграмма области существования биполярона для электронной ВФ (18a)

На рис. 3. представлена фазовая диаграмма существования континуального биполярона Холстейна, полученная нами для ВФ (18a). Фазовая диаграмма области существования БП – прямая линия. Обратим внимание, что дискретная модель [2], в отличие от наших расчётов, выполненных в рамках континуальной модели БП Холстейна, приводит к немонотонности линии, разграничитывающей фазовые состояния.

Исследования теоремы вириала для полярона и для БП Холстейна показали, что никаких особенностей по сравнению с теоремой вириала для полярона и БП Пекара не наблюдается. Для полярона Холстейна выполняется теорема вириала 1:2:3:4 [8], для БП Холстейна, рассмотренного нами, выполняются те же вириальные соотношения, что и для БП сильной связи Пекара [7].

## ЗАКЛЮЧЕНИЕ

Применение континуального приближения, как показано в работе Холстейна [3], справедливо в том случае, когда координатная часть ВФ полярона изменяется плавно на расстояниях порядка постоянной решётки. В связи с тем, что функционал БП строился в виде суммы функционалов двух поляронов, в качестве критерия справедливости континуального приближения можно использовать критерий, полученный в [3] для изолированного полярона. В общем случае ВФ биполярона может распространяться на большее число постоянных решётки по сравнению с полярной ВФ, однако, по порядку величины, критерий Холстейна не изменится. Так, согласно [3], линейный размер  $L_p$  полярона Холстейна можно приближённо представить в виде:

$$L_p \approx a \left( \frac{4J}{A^2/M\omega_0^2} \right), \quad (21)$$

где  $a$  – расстояние между ближайшими соседями в линейной цепочке. Очевидно, что критерий существования полярона большого радиуса, когда  $L_p \gg a$ , выполняется при:

$$2J \gg A^2/2M\omega_0^2. \quad (22)$$

Другими словами, ширина электронной зоны  $2J$  велика по сравнению с величиной  $A^2/2M\omega_0^2$ . Обратное неравенство выполняется для полярона малого радиуса. На рис. 1 расстояние между ближайшими соседями в цепочке полагалось равным единице:  $a = 1$ . Видно, что в рассмотренном нами случае ВФ БП плавно меняется на расстояниях порядка постоянной решётки, поэтому критерий справедливости континуального приближения выполняется.

В работе [2] рассматривалась дискретная модель БП Холстейна–Хаббарда. По сравнению с континуальной моделью дискретная модель является точной, т.к. содержит в качестве своих предельных случаев и полярон большого радиуса, и полярон малого радиуса. При увеличении константы связи электрона с решёткой критерий выполнения континуального приближения перестаёт выполняться, а полярон переходит от полярона большого радиуса к полярону малого радиуса. Соответственно, при больших константах связи энергия полярона в дискретной цепочке не квадратична по константе связи [2]. В пределе небольших констант электрон–фононной связи, как показали наши расчёты, энергии связи биполярона, полученные в рамках дискретной и континуальной модели, хорошо согласуются между собой. При больших константах связи дискретная модель приводит к большим величинам энергии связи по сравнению с континуальной моделью.

Работа выполнялась при поддержке РФФИ, проект № 13-07-00256.

## СПИСОК ЛИТЕРАТУРЫ

1. Kasumov A.Y., Kociak M., Gueron S., Reulet B., Volkov V., Klinov D., Bouchiat H. *Science*. 2001. V. 291. P. 280–282.
2. Лахно В.Д., Султанов В.Б. *Биофизика*. 2011. Т. 56. № 2. С. 230–234.
3. Holstein T. *Ann. Phys.* 1959. V. 8. P. 325–342.

4. Peeters F.M., Smolyrev M.A. *Phys. Rev. B* 1990. V. 43. P. 4920–4926.
5. Takada Y. *Phys. Rev. B*. 1982. V. 26. № 3. P. 1223–1232.
6. Каширина Н.И., Пашицкий Э.А., Моздор Е.В., Шека В.И. *Известия РАН. Сер. физич.* 1995. Т. 59. № 8. С. 127–133.
7. Пекар С.И. *Исследования по электронной теории кристаллов.* М.–Л.: Гостехтеоретиздат, 1951. 256 с.
8. Каширина Н.И., Лахно В.Д. *Математическое моделирование автолокализованных состояний в конденсированных средах.* М.: ФИЗМАТЛИТ, 2013. 292 с.